

文章编号 1006-8147(2016)06-0528-03

论著

# 泪腺腺样囊性癌 93 例临床分析

侯萍, 张虹

(天津医科大学中新生态城医院五官科, 天津 300467)

**摘要** 目的: 探讨泪腺腺样囊性癌的临床表现、影像学特征、治疗及预后情况。方法: 回顾性分析 93 例经病理组织学确诊的泪腺腺样囊性癌患者的临床资料。结果: 93 例患者中, 临床表现为眼球突出 78 例, 眼周肿物 63 例, 眼球运动障碍 51 例, 眼周自发性疼痛或触痛 47 例。超声显示肿瘤内回声多强弱不等, 声衰减显著而不可压缩, 内部血流多较丰富, 而复发或内部出血坏死肿瘤可以不丰富。CT 显示肿瘤多为泪腺区不规则形占位病变, 沿眶外壁向眶尖部生长, 可伴骨破坏。MRI 对肿瘤与周围组织的关系显影较好, T1WI 多为中等偏低信号, T2WI 多为中等偏高信号。手术联合放疗为其主要治疗手段, 多次复发患者可行 γ 刀治疗。患者 3 年及 5 年复发率分别为 64.58%、73.33%。结论: 结合临床表现及影像学特征该病术前易诊断, 综合治疗为目前主要治疗手段, 但由于肿瘤恶性程度高, 预后较差。

关键词 泪腺; 腺样囊性癌; B 型超声; CT; MRI; 综合治疗

中图分类号 R739.7<sup>2</sup>

文献标志码 A

腺样囊性癌是起源于腺上皮组织的恶性肿瘤, 好发于头颈部腺体, 在眼眶多累及泪腺组织, 是最常见的眼眶恶性上皮性肿瘤<sup>[1]</sup>。该肿瘤有嗜神经性生长特性、浸润性强、复发率高, 本文就我院 25 年来收治病人的临床资料进行分析总结, 以便指导临床。

## 1 资料与方法

1.1 对象 收集天津医科大学第二医院眼科 1989 年 1 月~2014 年 12 月间经病理组织学确诊的泪腺腺样囊性癌 93 例, 男 38 例, 女 55 例, 年龄 13~78 岁, 平均年龄 40 岁。左侧眶 56 例, 右侧眶 37 例。

1.2 检查项目 眼部: 视力、眼前后节、眼球突出度、眼球运动, 扒诊等。影像学:B 型超声(中国医学科学院生物医学工程研究所 BME-200 眼科超声波诊断仪)、彩色多普勒超声(CDI)(美国 ALT-3000 彩色多普勒超声诊断仪, 换能工作频率 10 mHz)、计算机层成像(CT)(Picker 公司 PQ-6000 超高速螺旋 CT, 层厚 5 mm, 常规水平扫描, 如有需要加照冠状位及强化扫描)、磁共振成像(MRI)(Toshiba 公司 1.5T Visant 超导机 MR 机, 层厚 5 mm, 常规水平位及冠状位扫描, 对比剂为钆喷酸葡胺)。

1.3 方法 所有病例手术治疗后均经病理组织学确诊。采用电话、书信及门诊复查方式对患者进行随访。

## 2 结果

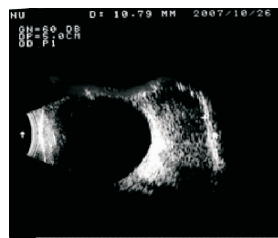
2.1 临床表现 主诉: 眼球突出 78 例, 眼周肿物 63 例, 眼周自发痛或触痛 47 例。眼部检查: 眼球突出 78 例中眼球下移位 33 例, 内移位 8 例, 内上、外

作者简介 侯萍(1990-), 女, 硕士在读, 研究方向: 眼外伤, 眼眶病;  
通信作者: 张虹, E-mail:eyezhanghong@163.com。

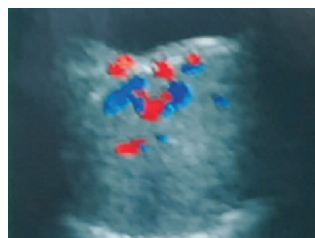
移位各 1 例。眼周肿物 63 例中外上方肿物 59 例, 下方肿物 3 例, 多发部位肿物 3 例, 上下眼睑皮下肿物 1 例, 肿物表面多不平、边不清、不能推动, 触痛 27 例。眼球运动受限 51 例, 其中各方向均受限 11 例。视力下降 23 例, 上睑下垂 10 例, 眼睑水肿 14 例, 结膜水肿 12 例, 其中突出于睑裂外伴角膜溃疡 4 例, 视网膜皱褶样改变 3 例、水肿 15 例。

### 2.2 影像学检查

2.2.1 超声检查 B 型超声检查 76 例, 肿瘤内部多为团块状强弱不等回声, 其中肿瘤内强回声光点 7 例、液性暗区 5 例(图 1)。声衰减显著 61 例、不显著 15 例。不可压缩 61 例、轻度可压缩 15 例, 压迫眼球变平 11 例。CDI 检查 52 例, 血流丰富 30 例(图 2), 血流不丰富 22 例。



泪腺区异常回声, 形不规则, 边界不甚整齐, 内回声强弱不等。  
可见大小不等无回声腔, 声衰减显著



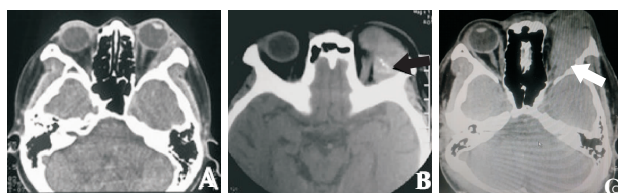
泪腺区异常回声, 边界尚清, 内回声较均, 内见丰富血流信号

图 2 泪腺腺样囊性癌 CDI 图像

### 图 1 泪腺腺样囊性癌 B 型超声图像

2.2.2 CT 扫描 CT 扫描 88 例, 肿物位于泪腺区及其周围组织 81 例, 眼下方 3 例, 充满眶腔 4 例。不规则形 56 例、扁平状 17 例(图 3 A)、团块状 15 例。

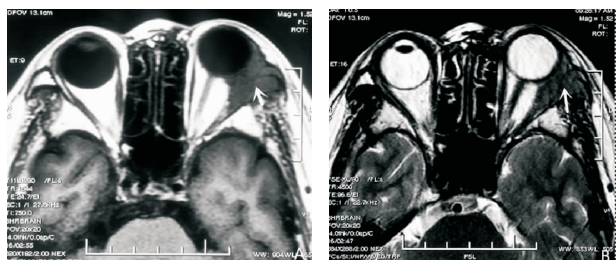
内密度不均匀66例,其中见点状骨密度影2例(图3B)、低密度区3例;内密度均匀22例。边界清楚67例;边界不清21例,其中与外直肌粘连6例,与眼球呈铸造型7例。肿物沿眶外壁向后蔓延40例,其中侵入眶尖23例,侵入颅内11例,侵入颞凹3例。眶腔扩大20例,局部骨质破坏36例(图3C),压迫性骨凹12例,骨吸收6例。



A.左眶泪腺区高密度影,呈扁平状,边界达眶壁,沿眶外壁向眶尖部蔓延,密度尚均匀;B.左眶泪腺区不规则形高密度影,边界达眶壁,向眶尖部蔓延,内部可见多个骨密度影(箭头);C.左眼几乎全眶内高密度影,内密度不甚均匀,达眶外壁,眶外壁锯齿样骨破坏(箭头)

图3 泪腺腺样囊性癌的水平CT图像

**2.2.3 MRI扫描** MRI扫描26例,其位置和形态同CT,肿瘤内部信号T1WI中信号21例,低信号2例,高低混杂信号、中高混杂信号、高信号各1例;T2WI中信号14例、高信号6例、中高混杂信号5例、高低混杂信号1例(图4A,B)。7例行强化扫描,其中强化均匀6例、不均匀1例。肿瘤侵犯颅中窝5例、前颅凹3例、颞肌及筛窦各2例。



A.左眶泪腺区不规则形异常信号影,沿眶外壁向眶尖部蔓延,T1WI呈中低信号(箭头);B.T2WI呈中高混杂信号(箭头)

图4 泪腺腺样囊性癌MRI图像

**2.3 治疗及预后** 肿瘤扩大切除73例,其中外侧开眶30例,前路开眶43例;肿物姑息性切除12例;眶内容切除8例。术后均辅助放疗,其中尚有17例辅助加速器治疗,9例复发后再次行 $\gamma$ 刀治疗,3例行化疗。1年随访59人,复发21人,复发率35.59%(21/59)。3年随访48人,复发31人,复发率64.58%(31/48)。5年随访45人,复发33人,复发率73.33%(33/45)。10年随访24人,复发19人,复发率79.17%(19/24)。

### 3 讨论

#### 3.1 临床表现

泪腺腺样囊性癌主要以眼球突出

就诊,多可触及泪腺区肿物,部分患者尚觉自发痛,这在眼眶其他肿瘤中是少见的。该病高发于30~50岁,女性略多于男性<sup>[2-3]</sup>。本文1例初诊患者触诊及CT均发现肿物位于眼眶外下方,考虑为眶内异位泪腺组织发生肿瘤。2例术后复发患者触诊及CT同样发现肿物位于眼眶下缘,另1例术后复发患者上下眼睑皮下均可触及肿物,CT见肿瘤充满全眶,可能与术中肿瘤细胞种植有关。3例术后复发患者眼眶多个部位均可触及肿物,CT证实肿物充满全眶,考虑为肿瘤复发浸润周围组织所致。泪腺区恶性肿瘤多累及外、上直肌致患者眼球外、上转不足。因此当肿瘤巨大累及或反复手术损伤各条眼外肌时,可致患者不同程度眼球运动受限。本文有11例各方向运动不足,结合影像学检查及术中所见,8例考虑为肿瘤巨大所致,3例考虑为反复手术损伤所致。肿物局限于泪腺区时,可压迫泪腺动脉终末支、上睑周及眶缘部动脉弓,影响眶周血液循环,致眼睑水肿。早期患者视力多不受影响,但当肿瘤反复复发或多次手术可致视力下降。本文视力受损患者中18例考虑为肿瘤复发所致,另5例初诊患者可能因肿瘤向后蔓延或与眼球呈铸造型压迫视神经所致。当眼球高度突出伴眶压增高,眼睑闭合不全时,结膜突出于睑裂外可致其充血水肿,严重者甚至角膜溃疡穿孔,本文因此致角膜溃疡4例;其次肿瘤长期压迫眼球壁,可致视网膜皱褶或缺血水肿,本文视网膜水肿15例,皱褶3例。

#### 3.2 影像学特征

**3.2.1 超声检查** B型超声对肿瘤内部结构显影较好,但当肿瘤靠后时很难显示肿瘤后界,且对周围组织显影较差。肿瘤内回声多中等不均,声衰减显著而不可压缩。根据内部回声的差异,B超多能分辨肿瘤内部的结构,本文中等回声中见强回声光点7例,液性暗区5例,术后分别证实为钙化斑及坏死液化区。CDI可显影病变内部的供血情况。因恶性肿瘤生长较快,血供丰富提示恶性肿瘤可能性大<sup>[4-5]</sup>,但本文行CDI检查52例患者中仅30例血流丰富,余22例血流不丰富中12例为术后复发患者,可能是手术破坏了肿瘤周围血管,4例肿瘤内部有坏死区,6例因肿瘤发展较慢,考虑肿瘤恶性程度稍低。

**3.2.2 CT检查** CT除能显示软组织肿物外,还可揭示骨骼改变,但因软组织分辨率较低,对肿物内部结构显示不如B超及MRI<sup>[6]</sup>。其典型的CT图像为:泪腺区形不规则占位病变,内密度欠均匀,少数肿瘤内可见钙斑或坏死区,中高度强化。突破泪腺窝的肿瘤可向眶尖部蔓延,早期即可越过眶中线,

并侵犯邻近眼外肌、眶骨等<sup>[7]</sup>。本文 3 例肿瘤位于眼下缘,4 例充满全眶,除 1 例原发于眼眶外下方的异位肿瘤外,其他均考虑为肿瘤复发所致。骨壁破坏多为术后复发或发展迅速的初诊患者,考虑骨壁受累除与病程有关,还与肿瘤恶性程度有关,恶性程度越高,肿瘤生长越快,骨壁越易受破坏。笔者发现 CT 显示骨破坏 36 例和术中发现骨膜受侵 10 例中眼痛 27 例,眼痛发生率较高除与骨膜受侵有关外,还与肿瘤的神经生长特性有关,考虑肿瘤的神经生长特性与骨膜受侵可能存在正相关。

**3.2.3 MRI 检查** MRI 成像参数多,软组织分辨率高,当显示肿瘤与周围组织关系或肿瘤颅内侵袭时优于 CT<sup>[6]</sup>。本文统计肿瘤在 T1WI 多为中等偏低信号,T2WI 多为中等偏高信号,其中 1 例初诊患者 T1WI 及 T2WI 均为高低混杂信号,术中见肿瘤弥漫于全眶,考虑为肿瘤内部混杂眶内多种组织致信号不均。另 1 例复发患者 T1WI 为高信号,T2WI 为中信号,可能是肿瘤中混有脂肪类组织所致。肿瘤侵犯颅内、颞窝及筛窦均被术中证实,而 CT 检查仅发现 3 例。

**3.3 治疗** 该肿瘤的首选治疗为手术切除。切除范围可参照 AJCC 分级,分级  $\geq T_3$  的肿瘤应行眶内容切除连同眶外壁及眶顶一并切除;而分级  $< T_3$  的肿瘤应尽量保留眼球,影像学或术中证实眶壁骨质受侵时应一并切除。传统的穿刺活检在治疗上是严格禁止的,因包膜破损将大大增加肿瘤复发概率<sup>[8]</sup>。术后均应辅助放疗,以减少肿瘤复发<sup>[9]</sup>,近年来开展的动脉介入化疗取得了一定疗效<sup>[10]</sup>,随着临床试验的进步及方案的推广,可能提高疗效。对于反复复发肿瘤或位置特殊难以完整切除的肿瘤可行  $\gamma$  刀治疗<sup>[11]</sup>,本文辅助  $\gamma$  刀治疗 9 例,术后 1 年肿瘤均变小,但后期失访。

**3.4 预后及影响因素** 眼眶位置特殊、解剖复杂且手术难度大,使泪腺区腺样囊性癌较其他部位的预后差:一方面肿瘤可经破裂骨壁浸润邻近颅内、副鼻窦或颞窝等组织,特别侵袭到颅内的肿瘤预后极差,死亡率极高;另一方面该肿瘤有嗜神经侵袭特性,而眼眶富含丰富的颅神经,使神经转移率升高,此外眼眶丰富的血流为其血液转移也提供了环境。本文 1 年复发 21 例患者中眼痛 16 例,肿瘤不规则形 18 例,边界不清 18 例,血流较丰富 10 例,局部骨破坏 15 例,侵及周围组织 7 例,未完整切除肿瘤 5 例,而 2 例半年内死亡的患者均行穿刺活检;1~3 年

复发的 10 人中眼痛 7 例,肿物不规则形 7 例,边界不清 5 例,血流较丰富 6 例,局部骨破坏 6 例,侵及周围组织 4 例;3~5 年复发的 2 例中肿物不规则形 2 例,边不清 2 例,局部骨破坏 2 例,周围组织受侵 1 例;而 10 余年仍未见复发的 3 例中,1 例血流较丰富,2 例肿物不规则形,均无骨破坏。行眶内容切除 8 例中,2 例 10 年以上未复发,肿瘤均未侵犯邻近骨壁,2 例 1 年以上未复发,1 例 1 年内死亡,肿瘤广泛侵犯邻近骨壁,余失访。因此我们认为眼痛、骨破坏、不完全切除肿瘤是术后复发的高危因素;而肿瘤的形状、边界或血流情况也可能影响预后,且穿刺活检可引起肿瘤扩散或全身转移可能。本文患者 5 年复发率较高,可能是随访者多为术后复发患者。

总之,根据临床表现及影像学特征,泪腺腺样囊性癌术前易诊断,但因其较高的局部侵袭性及远处转移率,致使该肿瘤易复发。尽管近年在治疗方案上取得一定进展,但效果仍不理想,本文病例 3 年及 5 年复发率分别为 64.58%、73.33%。

#### 参考文献:

- [1] Sanders J C, Mendenhall W M, Werning J W. Adenoid cystic carcinoma of the lacrimal gland[J]. Am J Otolaryngol, 2016, 37(2):144
- [2] von Holstein S L, Rasmussen P K, Heegaard S. Tumors of the lacrimal gland[J]. Semin Diagn Pathol, 2016, 33(3):156
- [3] Zhang R, Qian J, Yuan Y, et al. Atypical clinical presentation of orbital adenoid cystic carcinoma[J]. J Cancer Res Ther, 2015, 11 (4): 1035
- [4] 赵罡,史晓宝,潘诗农,等.眶内肿瘤的 MR 与超声比较影像学分析[J].医学影像学杂志,2013,23(3):384
- [5] Hatton M P, Remulla H D, Tolentino M J, et al. Clinical applications of color Doppler imaging in the management of orbital lesions[J]. Ophthal Plast Reconstr Surg, 2002, 18(6):462
- [6] 杨媚,孙丰源,唐东润,等.眼眶神经源性肿瘤 45 例 CT 与 MRI 表现[J].中国实用眼科杂志,2015,33(7):817
- [7] Qin W, Chong R, Huang X, et al. Adenoid cystic carcinoma of the lacrimal gland: CT and MRI findings[J]. Eur J Ophthalmol, 2012, 22 (3):316
- [8] 宋国祥.眼眶病学[M].第 2 版.北京:人民卫生出版社,2010:357~358
- [9] Gensheimer M F, Rainey D, Douglas J G, et al. Neutron radiotherapy for adenoid cystic carcinoma of the lacrimal gland[J]. Ophthal Plast Reconstr Surg, 2013, 29(4):256
- [10] 唐东润,宋国祥,孙丰源,等.眼眶泪腺腺样囊性癌手术联合放疗的疗效观察[J].眼科研究,2002,20(1):69
- [11] 潘剑,刘阿力,王美华,等.累及眶内肿瘤的伽玛刀治疗[J].中华神经外科杂志,2010,26(8):679

(2016-04-16 收稿)